

## Genesis and distribution of palygorskite and associated clay minerals in soils and sediments of southern Mashhad

A. Karimi, H. Khademi and A. Jalalian

Dept. of Soil Sci., Isf. Univ. of Thechnol., Isfahan, Iran  
E-mail: [aikarimi@sepahan.iut.ac.ir](mailto:aikarimi@sepahan.iut.ac.ir)

(Received: 28/8/2007, in revised form: 17/5/2008)

**Abstract:** The occurrence of palygorskite and its formation conditions in soils and sediments were studied along a transect covering granitic hilly lands to marly hilly lands in southern Mashhad. Based on formation conditions, amount and morphology, three kinds of palygorskite including high-amount palygorskite with long fibers in gypsiferous marl and basal part of deep loess deposits with high salinity, moderate-amount palygorskite which was mostly transported in association with carbonates and gypsum during calcic and gypsic horizon formation, and small-amount aeolian transported detrital palygorskite in non-altered loess deposits were distinguished. Palygorskite occurrence in Miocene marl is in line with the former investigations in central Iran. It shows similar conditions prevailing in this region and central and southeastern Iran and the formation of shallow and saline lakes and lagoons following the disappearance of the Tethyan seaway. Similar investigations around the world confirm that Tertiary sediments are the major source of palygorskite in the world.

**Keywords:** *Palygorskite, Loess, Clay minerals, Paleoclimate, Granite.*



## تشکیل و توزیع پالیگورسکایت و کانی‌های رسی همراه در خاک‌ها و تهنشست‌های جنوب مشهد

علیرضا کریمی، احمد جلالیان، حسین خادمی

دانشگاه صنعتی اصفهان، گروه خاک‌شناسی

پست الکترونیکی: a-karimi@sepahan.iut.ac.ir

(دریافت مقاله: ۱۳۸۶/۵/۷ ، نسخه نهایی: ۱۳۸۷/۲/۲۸)

**چکیده:** وجود پالیگورسکایت و شرایط تشکیل آن در خاک و تهنشست‌های زمین‌شناسی در راستای برشی، از تپه‌ماهورهای گرانیتی تا په‌ماهورهای مارنی مارنی جنوب مشهد بررسی شدند. بر پایه شرایط تشکیل، مقدار، و ریخت‌شناسی، سه نوع پالیگورسکایت، شامل پالیگورسکایت فراوان با الیاف بلند در مارن‌های گچی میوسن و قاعده لس‌های عمیق با شوری زیاد، مقدار متوسط پالیگورسکایت که بیشتر به همراه کربنات‌ها و گچ در زمان تشکیل افق‌های کلسیک و ژیپسیک انبوه شده‌اند، و مقدار کم پالیگورسکایت آواری منتقل شده با باد، در بادرفت‌های بدون تغییر شناسائی شدند. وجود پالیگورسکایت در مارن میوسن با پژوهش‌های قبلی در ایران مرکزی، همانگ بوده و نشان دهنده شرایط مشابه این منطقه، جنوب خاوری ایران و ایران مرکزی پس از محو شدن دریای تیس و تشکیل دریاچه‌های کم عمق و شور است. بررسی‌های مشابه در دیگر نقاط جهان، نشان می‌دهد که تهنشست‌های دوران سوم خاستگاه اصلی پالیگورسکایت در دنیا هستند.

**واژه‌های کلیدی:** پالیگورسکایت، لس، کانی‌های رسی، دیرینه اقلیم، گرانیت.

پالیگورسکایت در مواد مادری ایران مرکزی را به بالا آمدن فلات ایران و جدا شدن دریای تیس از اقیانوس اصلی در اوخر کرتاسه و تشکیل دریاچه‌های کم عمق و فوق العاده شور و مناسب برای تشکیل رس‌های الیافی نسبت می‌دهند [۷]. ۲- خاستگاه آواری، به وسیله باد [۱۰] یا تهنشست‌های آبرفتی [۶]. ۳- تشکیل در خاک؛ در این حالت پالیگورسکایت به دلیل نوسانهای سفره آب زیرزمینی [۱۲، ۱۱]، در اثر تغییر شکل اسمکتایت به ویژه اسمکتایت غنی از منیزیوم [۱۳، ۱۴] یا از محلول خاک [۱۵-۱۷] تشکیل می‌شود.

تشکیل پالیگورسکایت در خاک‌های مناطق خشک رابطه نزدیکی با تشکیل افق‌های تجمع آهک (افق کلسیک)، انبوه

### مقدمه

پالیگورسکایت از گروه رس‌های الیافی، کانی غالب بخش رس بسیاری از خاک‌ها و تهنشست‌های مناطق خشک است. وجود این کانی در خاک‌ها و تهنشست‌های ایران برای اولین بار توسط هندرسون و ربرتسون در سال ۱۹۵۸ [۱] و بارنت و همکاران در سال ۱۹۷۲ [۲] گزارش شد. پس از آن مهجوی [۳]، ابطحی [۴]، قرائی و مهجوی [۵]، خادمی و مرموط [۶ و ۷]، اولیائی و همکاران [۸]، و کریم‌زاده و همکاران [۹]، وجود پالیگورسکایت را در نقاط مختلف ایران گزارش کردند.

نتایج بررسی‌های انجام شده، سه فرضیه برای توجیه وجود پالیگورسکایت در خاک را به اثبات رسانده است: ۱- به ارث رسیده از مواد مادری؛ خادمی و مرموط (۱۹۹۹) وجود

سه نوع گرانیت مختلف در این منطقه وجود دارند که با علامت‌های  $g^{r1}$ ,  $g^{r2}$  و  $g^{r3}$  روی نقشه زمین شناسی به مقیاس ۱/۱۰۰۰۰ نشان داده شده‌اند. گسترش گرانیت‌های پورفیروئیدی ( $g^{r1}$ ) بیش از انواع دیگر است و در آن فلدسپات‌های پتاسیم‌دار سه سانتی‌متری نیز دیده می‌شود. توءه لوكوگرانیت ( $g^{r2}$ ) به ابعاد ۱۰ در ۱۵ کیلومتر، در درون  $g^{r1}$  تزریق شده و جوان‌تر از آن است.  $g^{r1}$  نسبت به  $g^{r2}$  به علت فراوانی بیوتیت و برونبوم‌های مختلف، تیره و پورفیروئید است. در حالیکه  $g^{r2}$ ، کانی‌های هم اندازه، دانه متوسط و روشن داشته و نیز دارای سیلیس بیشتری است.  $g^{r3}$  نسبت به دو نوع دیگر گسترش کمتری دارد. در سمت مقابل گرانیت‌ها، مارن‌های سرخ گچی مربوط به میوسن ( $M^{r.m}$ ) و انواع سنگ‌های تهنشستی دورهٔ ژوراسیک وجود دارند [۲۱، ۱۹].

این منطقه شامل واحدهای زمین‌ریختی تپه‌ماهورهای گرانیتی، و مارنی، و نیز تهنشست‌های ژوراسیک، دامنهٔ تپه‌ماهورهای گرانیتی و دشت دامنه‌ای است. روی تپه‌ماهورهای گرانیتی دو سطح متفاوت وجود دارند، یکی خاک‌های تشکیل شده در جا روی گرانیت‌ها و دیگری خاک‌های در جا که با تهنشست‌های لسی پوشیده شده‌اند. در دامنهٔ تپه‌ماهورهای گرانیتی، تهنشست‌های لسی با ضخامت زیاد وجود دارند که نشانه‌های خاک‌سازی در آنها قابل مشاهده است. دشت دامنه‌ای بر پایهٔ اینکه از تهنشست‌های لسی دامنهٔ گرانیت‌ها یا تهنشست‌های دیگر تعذیه شود، از خاک‌های متنوع‌تر و البته با تکامل کم‌تر تشکیل شده است.

برای بررسی کانی‌های رسی در طول برشی از تپه‌ماهورهای گرانیتی تا تپه‌ماهورهای مارنی، ۲۳ نیمرخ خاک، حفر و بررسی شدند. همچنین یک مقطع طبیعی از تهنشست‌های عمیق با درفتی در دامنهٔ تپه‌ماهورهای گرانیتی نیز مورد بررسی قرار گرفتند (شکل ۱). بر پایهٔ ریخت‌شناسی و موقعیت زمین‌ریختی نیمرخ‌های مورد بررسی ۱۲ نیمرخ خاک و مقطع طبیعی بادرفت به طور کامل مورد کانی‌شناسی قرار گرفتند.

#### بررسیهای آزمایشگاهی

برای شناسایی کانی‌های رسی، نمونه‌های خشک شده در هوا کوبیده و از الک ۲ میلی‌متری عبور داده شدند. نمونه‌های دارای گچ و نمکهای محلول به دفعات با آب مقطور تا حصول اطمینان

گچ (افق ژیپسیک) و کالکریت دارد. خادمی و مرموط (۱۹۹۷) عقیده دارند که تهنشستی گچ، باعث افزایش نسبت  $Mg/Ca$  pH شده و شرایط مناسب برای تشکیل پالیگورسکایت ایجاد می‌شود [۶]. وائز (۱۹۸۰) نشان داد که منیزیوم آزاد شده در اثر تبدیل کلسیت با منیزیوم بالا به کلسیت با منیزیوم پایین و نیز pH بالا، شرایط را برای تشکیل پالیگورسکایت فراهم می‌آورد [۱۸].

در مناطق مختلف ایران به ویژه ایران مرکزی، بررسیهای زیادی در مورد پالیگورسکایت در مواد مادری و خاکها انجام شده است. حق‌نیا نیز کانی‌های رسی دشت مشهد را مورد بررسی قرار داد و به حضور پالیگورسکایت در این خاک‌ها اشاره کرده است [۱۵]. اگرچه حضور پالیگورسکایت در دشت مشهد ثابت شده است، ولی تنوع شرایط تشکیل و وجود آن در دیگر لندرفم‌ها و مواد مادری و ارتباط آن با دیگر نقاط مطالعه شده در ایران بررسی نشده است. در جنوب مشهد وجود سه نوع گرانیت و سنگ‌های تهنشستی دوران‌های مختلف و تهنشست‌های آبی و بادی و خاک‌های تشکیل شده بر لندرفم مختلف، شرایط مناسبی را برای مطالعه کانی‌شناسی فراهم آورده است. این کار پژوهشی به منظور (الف) شناسائی کانی پالیگورسکایت در خاک‌ها و مواد مادری مختلف، (ب) چگونگی تشکیل پالیگورسکایت در خاک و مواد مادری و ارتباط آن با شرایط اقلیمی، و (ج) بررسی همبستگی از نظر زمین‌شناسی و شرایط خاک‌سازی بین ایران مرکزی و شمال خاوری ایران بر پایه کانی‌شناسی خاک و مواد مادری آنها، انجام گرفته است.

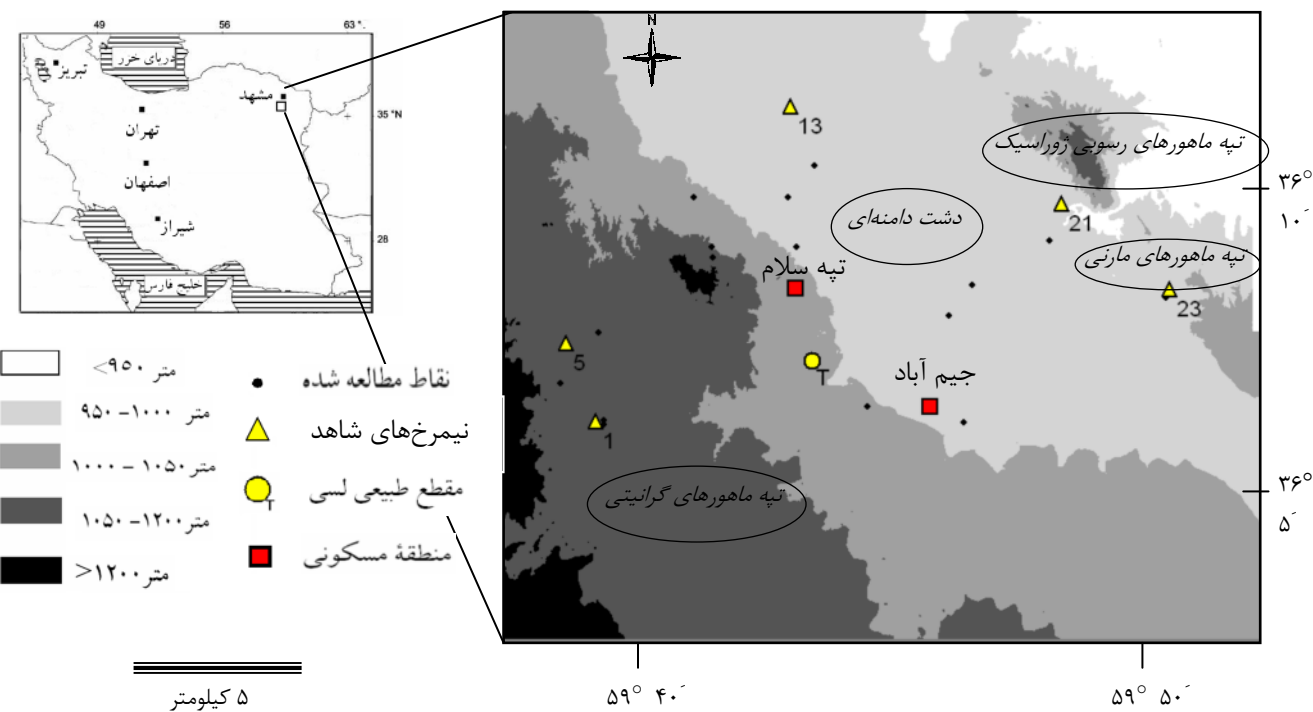
**معرفی منطقهٔ مورد بررسی و نحوهٔ نمونه برداری**  
منطقهٔ مورد بررسی در بخش جنوب خاوری و انتهای کوه‌های بینالود واقع در جنوب مشهد، با طول جغرافیائی  $59^{\circ} 42'$  شمالی و عرض جغرافیائی  $36^{\circ} 50'$  شمالي قرار دارد (شکل ۱). پهنهٔ بینالود، در ادامهٔ البرز و ایران مرکزی قرار دارد و به دلیل شباهت با دوبخش یاد شده، به آن پهنهٔ انتقالی می‌گویند. پهنهٔ کپه‌داغ به موازات پهنهٔ بینالود بوده و دشت مشهد بین این دو قرار می‌گیرد [۱۹]. میانگین بارندگی در ایستگاه هواشناسی مشهد، ۲۶۰ میلی‌متر و میانگین دما  $13.7^{\circ}/7^{\circ}$  درجه سانتی‌گراد است [۲۰].

گرفتند. بخش رس برخی از خاک‌ها و تنه‌نیست‌ها برای بررسی دقیق‌تر پالیگورسکایت، به وسیله میکروسکوپ الکترونی روبشی مدل Philips CM30 بررسی شدند. pH و EC آنها به ترتیب در عصاره اشباع و گل اشباع اندازه‌گیری شد. توزیع اندازه ذرات با پیپت، مقدار کربنات کلسیم به روش عیارسنجی برگشتی و گج به روش گرمایی تعیین شد [۲۳].

### توصیف خاک‌ها

بر پایه ریخت‌شناسی و موقعیت زمین‌ریختی و نتایج آزمایشگاهی، تعدادی از نیمرخ‌های مورد بررسی به عنوان شاهد انتخاب شدند که برخی از ویژگی‌های شیمیائی و فیزیکی آنها در جدول ۱ نشان داده شده‌اند. خاک‌های تشکیل شده روی گرانیت‌ها، شامل خاک‌های درجا و خاک‌های با پوشش نازک تا ضخیم لسی روی خاک‌های درجا را تشکیل می‌دهند. خاک‌های درجا، روی سه نوع گرانیتی که در بخش پیش شرح داده شد، تشکیل شده و شامل دو دسته کلی هستند. دسته اول به طور کامل از هوازدگی گرانیت به وجود آمده‌اند و دارای عمق کم و شن زیادند و حداکثر تکامل آنها وجود یک افق کمبیک (افق B) با کمترین تکامل) است (شکل ۲ و نیمرخ شماره ۵).

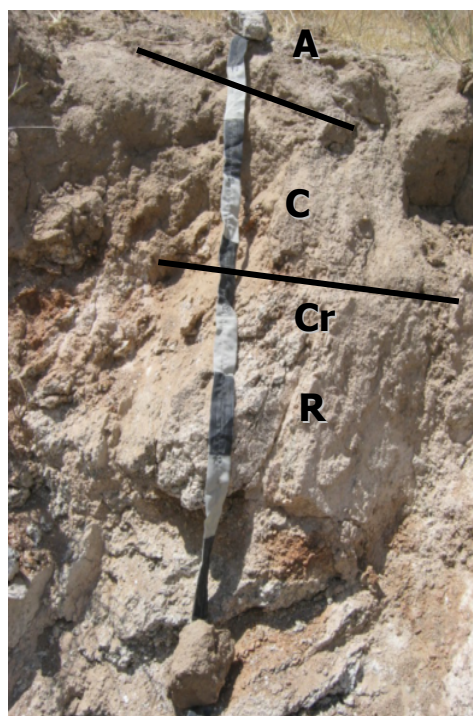
از حل و خارج شدن گج، شسته شدند. مواد سیمان کننده شامل مواد آلی، کربنات‌ها و اکسیدهای آهن آزاد، به ترتیب با آب اکسیژن ۳۰ درصد، استات سدیم ۱ نرمال ( $pH = ۵$ ) و بافر دی‌تیونات - سیترات - بی‌کربنات ( $pH = ۷/۳$ ) حذف شدند [۲۲]. بخش رس با استفاده از یک مرکز گریز جدا و خشک شد. دو نمونه ۴۰ میلی‌گرمی رس به ترتیب با پتاسیم و منیزیوم اشباع شدند [۲۳]. هر کدام از آنها را روی اسلايدهای شیشه‌ای به مساحت  $۵ \times ۲$  سانتی‌متر مربع، و ضخامت یکنواخت قرار دادیم. برای هر نمونه پنج تیمار شامل اشباع از پتاسیم، اشباع از پتاسیم و تیمارهای گرمایی با دماهای ۳۵۰ و ۵۵۰ درجه سانتی‌گراد، اشباع با منیزیوم، و اشباع با منیزیوم و اتیلن گلیکول، صورت گرفت. سپس با یک دستگاه پراش سنج با پرتو ایکس مدل Shimadzu DX-10 Cu-K $\alpha$  زیر اثر جریانی به شدت ۴۰ میلی‌آمپر و ولتاژ ۴۰ کیلو ولت تجزیه شدند. برای مشاهده ریخت‌شناسی پالیگورسکایت در حالت طبیعی نمونه‌های خیلی کوچک و دست نخورده با چسب کربن روی پایه‌های آلومینیومی چسبانده و با لایه‌ای از طلا پوشش داده شدند. این نمونه‌ها با میکروسکوپ الکترونی روبشی مدل Philips مورد بررسی قرار



شکل ۱ موقعیت منطقه مورد مطالعه، واحدهای زمین‌ریختی و نقاط نمونه برداری.

جدول ۱ برخی ویژگی‌های فیزیکی و شیمیائی نیمرخ‌های شاهد.

رس (%)	سیلت (%)	شن (%)	آهک (%)	گچ (%)	EC (dSm <sup>-1</sup> )	pH	عمق (cm)	افق
نیمرخ شماره ۱: خاک در جا با پوشش لسی روی تپه‌ماهورهای گرانیتی								
Ap	-۱۵	۷,۹	۳	۶,۵	۲۷	۱۵,۳	۷۳,۱	۱۱,۶
Bk	۱۵-۴۰	۷,۹	۳,۱	۵,۴	۴۲	۱۷,۱	۶۶,۸	۱۶,۱
2Btk	۴۰-۸۵	۸	۳,۱	۵,۳	۳۱	۴۰,۶	۴۲,۵	۱۶,۹
2Cry1	۸۵-۱۲۰	۷,۸	۲,۴	۴۵	۴	۷۹,۴	۱۷,۷	۲,۹
2Cry2	۱۲۰-۱۵۰	۷,۵	۲,۴	۱۰,۳	۱۲	۸۹,۸	۸,۳	۱,۹
نیمرخ شماره ۵: خاک در جای تشکیل شده روی تپه‌ماهورهای گرانیتی								
A	-۱۰	۸,۲	۱,۸	۲,۶	۱۵	۶۰,۴	۳۲,۵	۷,۱
C	۱۰-۳۰	۷,۹	۱,۷	۳,۳	۱۸	۴۶,۳	۴۰,۵	۱۲,۲
Cr	+۳۰	-	-	-	-	-	-	-
نیمرخ شماره ۱۳: خاک آبرفتی دشت دامنه‌ای								
Ap	-۳۰	۸,۵	۲,۸	۴,۲	۱۱	۱۹,۶	۶۴,۱	۱۶,۳
Bw1	۳۰-۵۰	۸,۲	۱,۸	۲,۹	۱۳	۱۶,۲	۷۰,۳	۱۲,۵
Bw2	۵۰-۷۰	۸,۴	۰,۹	۴,۳	۱۹	۲۳,۸	۵۴,۶	۲۱,۶
2Bkb	۷۰-۱۰۰	۸,۵	۰,۷	۷,۱	۱۸	۱۶,۶	۵۸,۴	۲۵
نیمرخ شماره ۲۱: خاک واقع بر دامنه تهنشست‌های ژوراسیک								
Ap	-۳۰	۷,۶	۱۴,۷	۳	۱۳	۲۵,۹	۵۴,۶	۱۹,۵
By1	۳۰-۶۰	۷,۷	۱۹,۷	۶,۱	۱۸	۳۲,۵	۵۱,۹	۱۵,۶
By2	۶۰-۹۰	۸,۶	۳۰,۵	۱۰	۱۵	۴۰,۵	۴۷,۷	۱۱,۸
2Bw	۹۰-۱۳۰	۸,۶	۲۹,۸	۷,۷	۲۵	۴۳,۷	۳۹,۳	۱۷
نیمرخ شماره ۲۳: خاک در جای تشکیل شده روی مارن								
Ap1	-۱۵	۸	۳	۹,۴	۲۸	۲۶,۳	۶۰,۷	۱۳
Ap2	۱۵-۴۰	۸	۲,۷	۱۶,۲	۱۰	۱۱,۶	۶۸,۳	۲۰,۱
Cy1	۴۰-۶۰	۷,۹	۲,۴	۴۷,۲	۱۹	۵۴,۸	۳۸,۴	۶,۸
Cy2	۶۰-۹۰	۸,۱	۳	۴۸,۷	۱۹	۵۰,۸	۴۳,۶	۵,۶
Cr1	۹۰-۱۱۰	۸,۱	۱۳,۴	۴۷,۵	۱۶	۴۹	۴۳,۸	۷,۲
Cr2	۱۱۰-۱۴۰	۸	۱۴	۴۷,۸	۲۹	۵۹,۶	۳۶	۴,۴
بخش قاعدة مقطع طبیعی بادرفتی در دامنه گرانیت‌ها								
6 C1	۳۷۰-۴۰۰	۸,۶	۱۹,۳	۵,۶	۱۷	۹,۳	۷۷,۱	۱۲,۶
6 C2	۴۰۰-۴۳۰	۸,۹	۴۹,۵	۶,۶	۷	۸,۸	۷۴,۵	۱۶,۷
6 C3	۴۳۰-۴۶۰	۸,۸	۱۰,۴	۵,۸	۱۷	۱۱,۵	۷۵,۲	۱۲,۳
6 C4	۴۶۰-۴۹۰	۸,۴	۲۲,۶	۶,۱	۱۸	۱۰,۷	۷۵,۸	۱۲,۵
6 C5	۴۹۰-۵۲۰	۸,۴	۱۳,۳	۵,۱	۱۸	۱۰,۳	۷۷,۷	۱۲
6 C6	۵۲۰-۵۵۰	۸,۲	۱۰,۹	۵,۲	۱۳	۱۲,۶	۷۴,۸	۱۲,۶
6 C7	۵۵۰-۵۸۰	۸,۱	۳۷,۷	۶,۲	۲۰	۱۲,۷	۷۴,۷	۱۲,۶



شکل ۲ نیمرخ شماره ۵، نوع اول خاک‌های درجا تشکیل شده روی گرانیت نوع  $\text{g}^{12}$ .

بیش از  $100 \text{ dSm}^{-1}$  می‌رسد. به دلیل عمق زیاد این مقطع، فقط ویژگیهای بخش پائینی آن که شرایط آن برای تشکیل پالیگورسکایت مناسب است در جدول ۱ آورده شده‌اند. خاک‌های دشت دامنه‌ای (نیمرخ شماره ۱۳) و خاک‌های تشکیل شده روی دامنه‌های تمدنی‌های ژوراسیک (نیمرخ شماره ۲۱)، غالباً دارای افق کمبیک و در بعضی موارد افق کلسیک است. ویژگی‌های شیمیائی این خاک‌ها، مشابه خاک‌های گرانیتی است با این تفاوت که میزان گچ در آنها کمتر است. خاک‌های تشکیل شده روی مارن‌ها دارای گچ فراوانند. در بخش‌های عمیق این خاک‌ها تکه‌های مارن هوازده، با بیش از  $48 \text{ درصد گچ}$  وجود دارند. رسانندگی الکتریکی این خاک‌ها نیز کمتر از  $1 \text{ dSm}^{-1}$  است ولی مواد مادری آنها (مارن‌ها) دارای رسانندگی الکتریکی بیش از  $10 \text{ dSm}^{-1}$  است.

در خاک‌های لسی تپه‌ماهورهای گرانیتی (نیمرخ شماره ۱) و در بخش بالائی مقطع طبیعی بادرفتی در دامنه تپه ماهورهای گرانیتی، یک افق انبوه شده رس و کربنات‌ها (Btk) به رنگ سرخ وجود دارد. رنگ زمینه خاک این افق‌ها ۱۰YR است ولی رنگ زمینه لایه بالائی آنها ۷.۵YR بوده است که یک

دسته دوم خاک‌های درجا، دارای افق کلسیک (افق تجمع کربنات‌های ثانویه) و ژیپسیک (افق تجمع گچ ثانویه) هستند که آهک و گچ از طریق باد وارد آنها شده و در بعضی از موارد گچ حتی در ساپرولیت آنها نیز دیده می‌شود. به دلیل اضافه شدن سیلت از طریق باد، افق‌های سطحی این خاک‌ها نسبت به خاک‌های دسته اول، سیلیت بیشتری دارد. نوع دوم خاک‌های تپه ماهورهای گرانیتی، خاک‌های درجا با پوشش نازک تا ضخیم لسی هستند. افق‌های سطحی این خاک‌ها دارای سیلیت فراوان با خاستگاه بادرفتی است در حالی که افق‌های زیرین، ویژگی‌های خاک‌های درجا را نشان می‌دهند (نیمرخ شماره ۱). بر پایه نتایج حاصل از بررسیهای نیمرخ‌های مورد بررسی، خاک‌های تپه‌ماهورهای گرانیتی دارای  $4-41 \text{ درصد آهک}$ ،  $5 \text{ درصد گچ}$ ,  $\text{pH } 7.5-8.2$ ، و رسانندگی الکتریکی  $dSm^{-1} ۱-۳/۱$  هستند. در دامنه گرانیتها تهنشستهای عمیق بادرفتی وجود دارند که وجود افق‌های کلسیک و ژیپسیک همراه با لایه‌های سرشار از سیلیت نشان از تناوب تهنشینی و خاک‌سازی دارد. مقطع طبیعی لسی بررسی شده دارای  $7-32 \text{ درصد آهک}$ ,  $3-17 \text{ درصد گچ}$  و  $\text{pH}$  بالای ۸ است. رسانندگی الکتریکی به ویژه در اعمق این مقطع بالا است که حتی به

ترتیب تا نزدیک  $1/4$  و  $1/8$  نانومتری منبسط می‌شوند حاکی از وجود میکا- اسمکتایت و اسمکتایت است. نزدیک شدن تدریجی این قله‌ها به قله  $1$  نانومتر و افزایش شدت این قله در تیمار اشباع با پاتاسیم نیز تایید دوباره‌ای بر حضور این دو کانی است. کانی‌شناسی خاک‌های نوع اول درجا، مشابه لایه‌های ساپرولیتی است ولی قله  $64$ . $64$  نانومتر در افق کلسیک و حتی در ساپرولیت خاک‌های نوع دوم درجا وجود دارد (شکل  $5$ ) و الیاف کوتاه پالیگورسکایت در تصویر ریزنگاشت میکروسکوب الکترونی روبشی نیز به سختی قابل مشاهده است (شکل  $6$ -الف). در لایه‌های لسی عاری از نشانه‌های خاک‌سازی، به عنوان مثال افق  $Ap$  نیمرخ شماره  $1$ ، نشانه‌ای از پالیگورسکایت در پراش نگاشت پرتو ایکس و تصویر ریزنگاشت میکروسکوب الکترونی روبشی مشاهده نشد (شکل  $3$  و شکل  $6$ -ب).

در افق‌های کلسیک مقطع لسی بررسی شده در دامنه تپه‌ماهورهای گرانیتی نیز پالیگورسکایت وجود دارد. افق انبوهه رس و کربناتهای سرخ رنگ این ته نشستهای که به نظر می‌رسد با افق انبوهه رس و کربناتهای سرخ رنگ نیمرخ  $1$  از نظر زمان همبستگی دارند، قله مربوط به پالیگورسکایت در پراش نگاشت پرتو ایکس مشاهده نشد. قاعدة این مقطع لسی از نظر ریخت‌شناسی با بخش‌های بالائی متفاوت بوده و دارای ظاهر یکنواخت با استحکام زیاد است. رسانندگی الکتریکی عصارة اشباع آن نیز زیاد است. در این بخش قله  $64$ . $64$  نانومتر پالیگورسکایت به خوبی نمایان است (شکل  $5$ ). در تصویر ریزنگاشت میکروسکوب الکترونی روبشی (شکل  $6$ -ج و  $6$ -د)، الیاف بلند و در هم تنیده پالیگورسکایت به طول  $5$  تا  $10$  میکرون، به مقدار زیادی مشاهده می‌شود.

در مارن‌ها و خاک‌های تشکیل شده روی آنها نیز پالیگورسکایت به مقدار زیاد وجود دارد و الیاف آن در تصویر ریزنگاشت میکروسکوب الکترونی روبشی به فراوانی دیده می‌شود (شکل  $5$ ، شکل  $6$ -ه و شکل  $6$ -و). ته نشستهای بادرفتی بدون تغییر و افق تجمع رس و کربناتهای سرخ رنگ که با آنالیز پراش پرتو ایکس و میکروسکوب الکترونی روبشی، نشانه‌ای از حضور پالیگورسکایت در آنها مشاهده نشد؛ با استفاده از میکروسکوب الکترونی عبوری مورد مطالعه قرار گرفتند. الیاف کوتاه پالیگورسکایت در هر دو نمونه از ته نشست-

افق کلسیک است و تنها پدیده خاک‌سازی قابل مشاهده در آنها تجمع کربناتهای است.

### کانی‌شناسی رسی خاکها

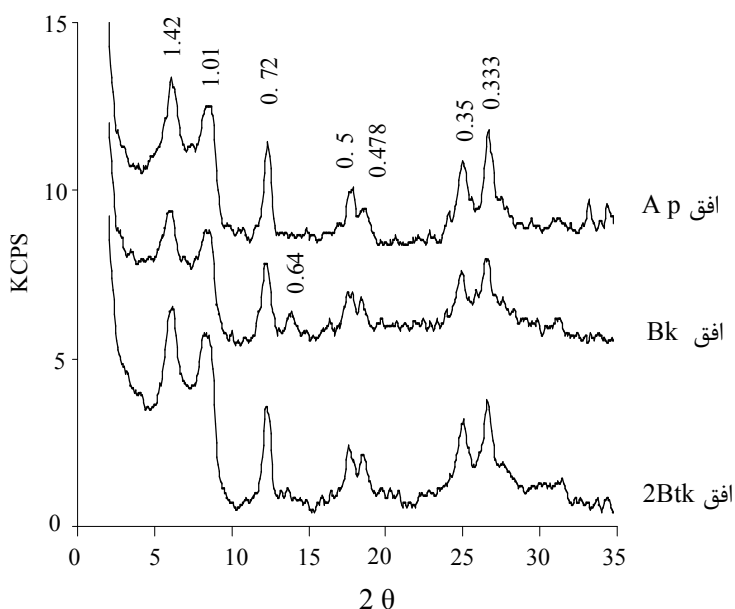
اسمکتایت، ایلات، میکا- اسمکتایت، فلدسپار پاتاسیم‌دار و کوارتز در همه نمونه‌های مورد مطالعه مشاهده شدند. به دلیل همپوشانی رده دوم و چهارم، کلرایت با رده اول، و دوم قائلینیت، برای شناسائی قائلینیت باید از قله رده سوم قائلینیت ( $24$ . $24$  نانومتر) استفاده کرد [۲۴]. به دلیل عدم وجود قله یادشده، قائلینیت تشخیص داده نشد. قله‌های  $64$ . $64$  و  $105$  نانومتر در تیمار منیزیوم اشباع نشان دهنده وجود پالیگورسکایت است. شناسائی پالیگورسکایت با استفاده از قله  $1$  نانومتر به دلیل تزدیکی با قله  $1$  نانومتر ایلات مشکل است، به همین دلیل معمولاً از قله  $64$ . $64$  نانومتر برای شناسائی پالیگورسکایت استفاده می‌شود. پالیگورسکایت فقط در بعضی از نمونه‌ها وجود داشت که نشان دهنده شرایط ویژه برای تشکیل آن است.

در افق سطحی خاک در جا با پوشش لسی (نیمرخ شماره  $1$ ، تمامی کانی‌های یاد شده به غیر از پالیگورسکایت مشاهده شد. چنانکه اشاره شد این افق لسی بوده و از نظر کانی‌شناسی مشابه افق‌های بادرفتی دیگر در منطقه است با این تفاوت که افق‌های بادرفتی روی گرانیت‌ها، اسمکتایت بیشتری دارند. افق کلسیک این نیمرخ، دارای مقدار زیادی پالیگورسکایت است (شکل  $3$ ). وجود پالیگورسکایت در افق کلسیک در مناطق خشک معمول است [۷ و  $25$ . $25$ ]. نکته جالب عدم وجود قله  $64$ . $64$  پالیگورسکایت در پراش نگاشت پرتو ایکس در افق انبوهه رس و آهک سرخ رنگ پائینی است (شکل  $3$ ). تفاوت رنگ دو افق نشان می‌دهد که افق انبوهه رس و آهک شرایط گرمتر و مرطوبتری را گذرانده و در نتیجه شرایط پایداری پالیگورسکایت فراهم نبوده است. در این خاک دو لایه ساپرولیتی نیز وجود دارند که شکل ظاهری گرانیت را حفظ کرده‌اند ولی به راحتی خرد می‌شوند. بر پایه نتایج پراش نگاشتهای بخش رس این دو لایه (شکل  $4$ ، پدیده روشن، هوازدگی میکا و تبدیل آن به اسمکتایت و تشکیل کانی حد واسط میکا- اسمکتایت است. وجود قله‌های  $1/18$  و  $1/42$  نانومتر در تیمار اشباع با منیزیوم که با تیمار اتیلن گلیکول به

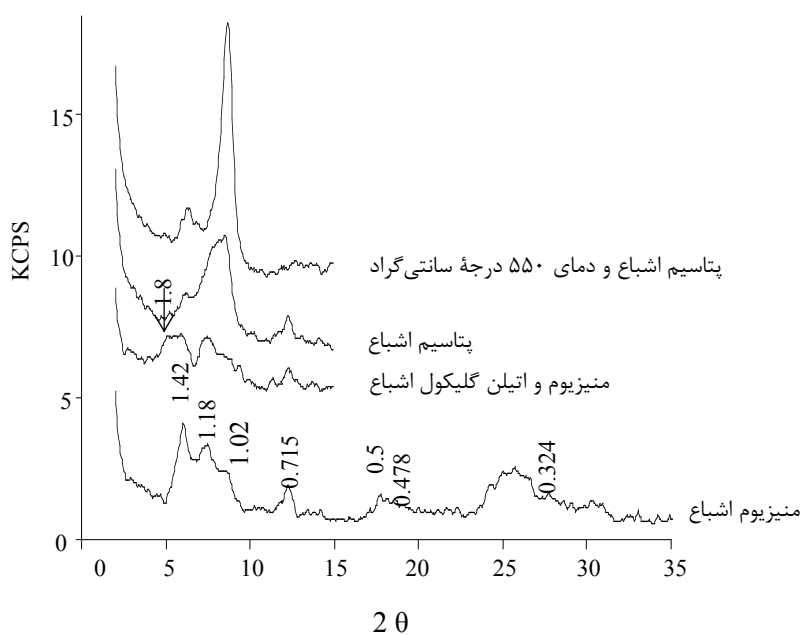
لس‌ها را تشکیل می‌دهد (شکل ۹) و بیانگر این است که در اثر هوادیدگی گرانیت، مقدار زیادی از کوارتز وارد جزء سیلت می‌شود. در منابع نیز به قابلیت گرانیت برای تولید کوارتز در حد سیلت اشاره شده [۲۶ و ۲۷] که می‌تواند خاستگاه سیلت کوارتزی لس‌های منطقه باشد. کانی غالب بادرفتها که ته‌نشسته‌های با سیلت زیاد هستند، کوارتز است [۲۸].

ها مشاهده شدند (شکل ۷-الف و شکل ۷-ب). خاک‌های تشکیل شده در دامنهٔ میکروکنگلومراهای ژوراسیک (نیمرخ شماره ۲۱) دارای تکامل کم و ویژگی‌های آن به مواد مادری نزدیک است. در این خاک‌ها بخش بزرگ رس را ایلات تشکیل می‌دهد. پالیگورسکایت دیده شد و اسماکتایت نیز در حد بسیار کم نسبت به بقیهٔ خاک‌ها وجود دارد (شکل ۸).

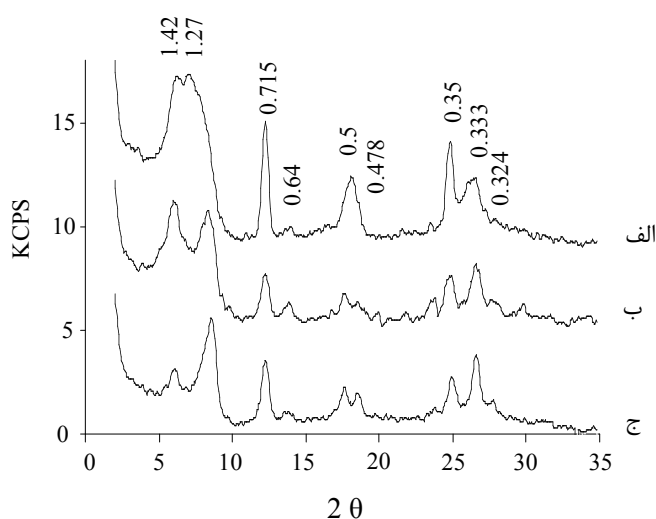
کوارتز، کانی غالب بخش سیلت ساپرولیت گرانیتها و



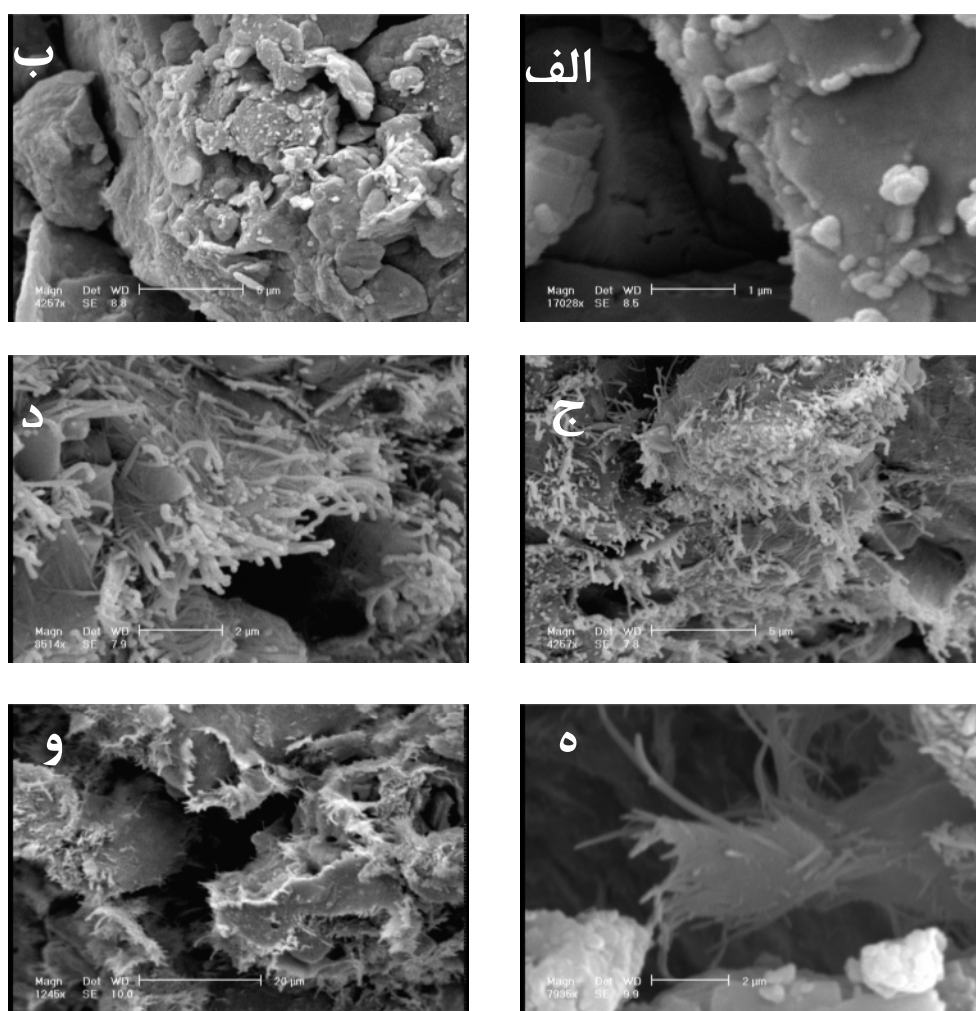
شکل ۳ طرح پراش پرتو ایکس تیمار اشباع با منیزیوم بخش رس افق‌های نیمرخ شماره ۱، قله ۶۴، نانومتر فقط در افق کلسیک (Bk) وجود داشته ولی در افق انبوه رس و کربناتها (2Btk) مشاهده نمی‌شود.



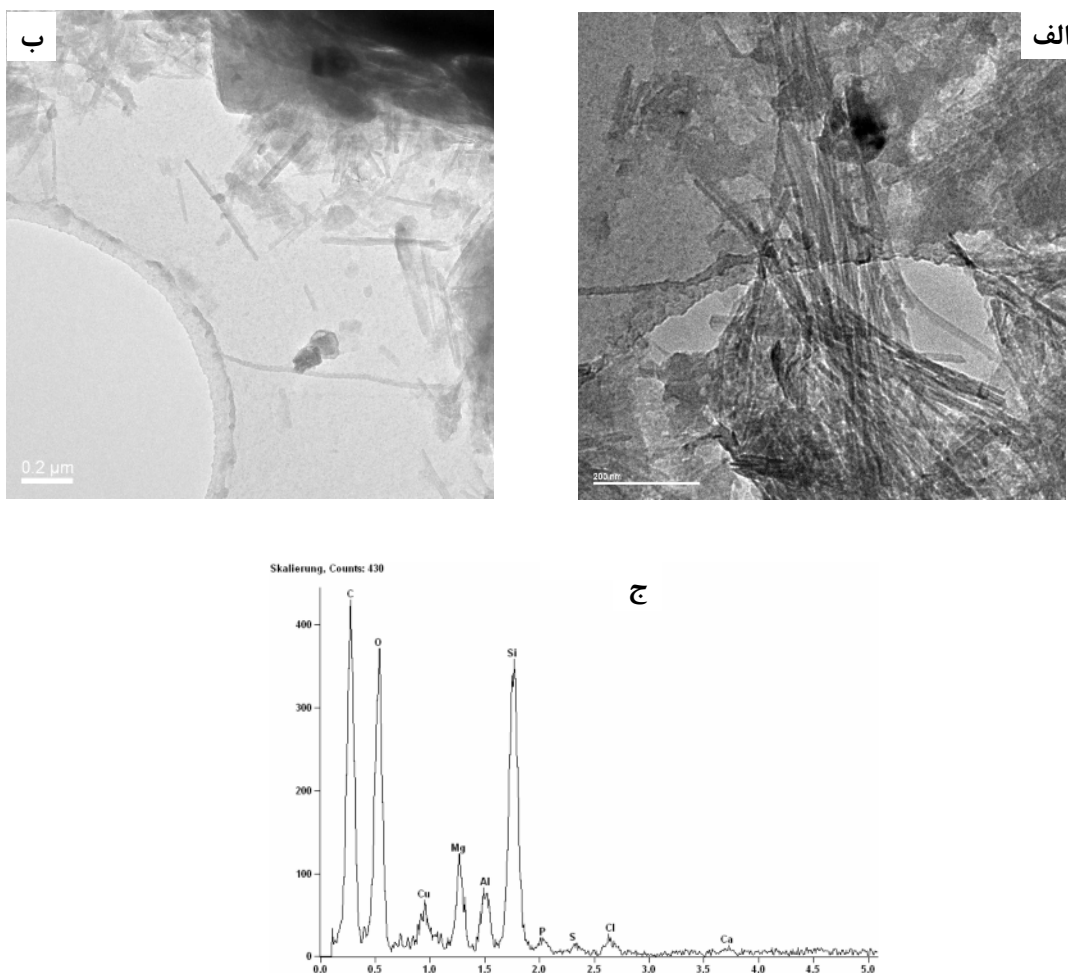
شکل ۴ طرح پراش پرتو ایکس تیمارهای مختلف بخش رس ساپرولیت (2Cr<sub>2</sub>O<sub>7</sub>) نیمرخ شماره ۱، گرانیت نوع g<sup>r1</sup>.



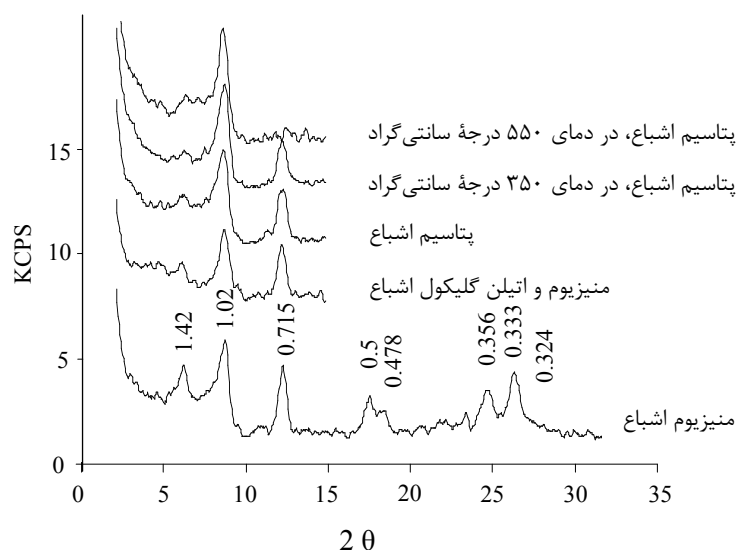
شکل ۵ طرح پراش پرتو ایکس تیمار منیزیوم اشیاع بخش رس خاک‌های سه نوع افق حاوی پالیگورسکایت، (الف) ساپرولیت گرانیتی (Cry) دسته دوم خاک‌های درجا، (ب) لایه Cr<sub>2</sub> مارن هوادیده میوسن، نیمرخ ۲۳، (ج) لایه 6C7 قاعده مقطع طبیعی بادرفتی.



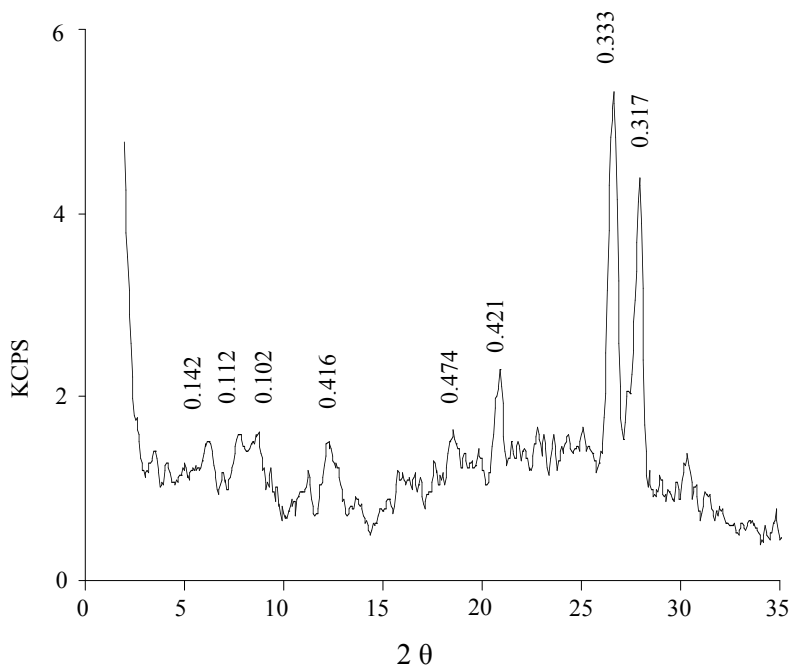
شکل ۶ تصویر ریزنگاشت میکروسکوپ الکترونی روبشی لایه‌های (الف) ساپرولیت گرانیتی (Cry) دسته دوم خاک‌های درجا، (ب) افق Ap نیمرخ ۱، (ج) و (د) لایه 6C7 قاعده مقطع طبیعی بادرفتی، (ه) و (و) لایه Cr<sub>2</sub> مارن هوازده میوسن، نیمرخ ۲۳.



شکل ۷ تصویر ریزنگاشت میکروسکوپ الکترونی عبوری لایه‌های الف) افق 2Btk نیمرخ شماره ۱، ب) افق Ap نیمرخ شماره ۱ و ج) بیناب سنج پرتو ایکس الیاف پالیگورسکایت افق 2Btk نیمرخ شماره ۱.



شکل ۸ طرح پراش پرتو ایکس تیمارهای مختلف بخش رس افق Ap نیمرخ ۲۱.



شکل ۹ طرح پراش پرتو ایکس نمونه پودری بخش سیلت ساپرولیت (2Cr<sub>2</sub>O<sub>3</sub>) نیمرخ شماره ۱.

این فرضیه‌ها را تأیید می‌کند [۶]. وجود پالیگورسکایت فراوان در مارن سرخ گچی در این منطقه نشان دهندهٔ شرایط محیطی مشابه با ایران مرکزی در دوران سوم زمین‌شناسی است. الیاف با طول ۱۰-۵ میکرون و در هم تنیدهٔ پالیگورسکایت (شکل ۳-۶ و ۳-۷) نشان از تشکیل در جای پالیگورسکایت است [۲۲] و [۳۳]. در این‌گونه محیط‌ها، شرایط ژئوشیمیائی برای تشکیل پالیگورسکایت مناسب بوده است. شرایط قلیائی و فعالیت بالای پالیگورسکایت معمولی در این‌گونه محیط‌ها نیز ایجاد شده است. شرایط قلیائی و فعالیت بالای Mg<sup>2+</sup> و H<sub>4</sub>SiO<sub>4</sub><sup>0</sup> برای تشکیل پالیگورسکایت نیاز است [۳۴]. خادمی و مرمروت (۱۹۹۸) معتقدند که در ترشیاری، آب کم عمق و دمای بالا موجب افزایش pH و در نتیجهٔ افزایش حلالیت سیلیس شده است. از طرف دیگر مارن‌ها در این منطقه، دارای گچ فراوان نیز هستند. در موقع ته نشینی گچ، به دلیل خارج شدن کلسیم از محیط، نسبت Mg/Ca افزایش می‌یابد که سبب افزایش فعالیت منیزیوم می‌شود [۶]. وجود پالیگورسکایت در این منطقه، ایران مرکزی [۶ و ۷]، مراکش [۳-۲ و ۳-۳] و عربستان [۳-۵] نشان دهندهٔ شرایط مشابه در دوران سوم در این مناطق بوده و می‌توان گفت که تنهنشست‌های دوران سوم، خاستگاه اصلی رس‌های الیافی در دنیا هستند.

الیاف بلند پالیگورسکایت در قاعدهٔ لس‌های عمیق دامنه گرانیت‌ها (شکل ۶-ج و ۶-د)، مشابه با پالیگورسکایت موجود

## بحث و برداشت

نتایج ارائه شده در بخش قبل، وجود سه نوع پالیگورسکایت را بر پایهٔ شرایط تشکیل، مقدار، و ریخت‌شناسی در خاک‌ها و تهنشست‌های منطقه نشان می‌دهد. این سه نوع پالیگورسکایت عبارتند از: پالیگورسکایت فراوان با الیاف بلند و در هم تنیده موجود در مارن‌های گچی میوسن و قاعدهٔ لس‌های عمیق با شوری بالا، میزان متوسط پالیگورسکایت که بیشتر به همراه آهک و گچ در زمان تشکیل افق‌های کلسیک و ژیپسیک انبوه شده‌اند و مقدار کم پالیگورسکایت آواری منتقل شده به وسیلهٔ باد در تهنشست‌های لسی بدون دگرگونی.

کرینزلی (۱۹۷۰) معتقد است که مرکز ایران بخشی از دریای تیس قدیمی بوده است [۲۹]. در کرتاسه زیرین این بخش ایران از دریای اصلی جدا می‌شود و در نتیجهٔ در دوران سوم زمین‌شناسی دریاچه‌های کم عمق و شور تشکیل شده‌اند [۳۰]. تفاوت ترکیب ایزوتوبی گوگرد تهنشست‌های پالیگومیوسن ایران مرکزی با دریاچه‌ای آزاد هم‌زمان با این تهنشست‌ها نیز مؤید جدا شدن ایران از دریای قدیمی و تشکیل دریاچه‌های داخلی است [۳۱]. این دریاچه‌ها از نظر شیمیائی، محیط‌های بسیار مناسبی برای تشکیل رس‌های الیافی هستند. بررسیهای خادمی و مرمروت (۱۹۹۷) وجود مقادیر فراوان پالیگورسکایت در تهنشست‌های پالیگومیوسن در ایران مرکزی،

است. افق انبوده رس و کربنات‌های سرخ رنگ دارای پالیگورسکایت در مرکز ایران نیز گزارش شده است [۶ و ۳۸] که نشان می‌دهد در این مناطق پس ازیک دوره گرم و مرطوب، آهکی شدن دوباره خاک، شرایط را برای تشکیل پالیگورسکایت فراهم کرده است ولی در منطقه مورد مطالعه، احتمالاً به دلیل سرعت اضافه شدن سیلت به سطح خاک، شرایط برای تشکیل یا انبوه شدن دوباره پالیگورسکایت در افق‌های زیرین ایجاد نشده است. در این منطقه پالیگورسکایت فقط در افق‌های ژیپسیک که نشانه‌هایی از حل و تنهشست، و انتقال دارند، دیده شد. به همین دلیل پالیگورسکایت حتی در ساپرولیت گرانیتی به دلیل حل و تنهشینی گچ وارد شده با باد مشاهده شد؛ ولی در لایه‌هایی که گچ با باد آورده شده و بدون هیچ تغییری انبوه شده‌اند، نشانه‌ای از قله ۶۴ نانومتر نبوده است و پالیگورسکایت تنها در تصاویر ریزنگاشت میکروسکوپ الکترونی عبوری قابل مشاهده است.

نوع دیگر پالیگورسکایت، شکل آواری آن است که به مقدار کمتر تنهشست‌های بادرفتی بدون تغییر و نیز در لایه‌های با گچ زیاد بین تنهشتهای بادرفتی، با میکروسکوپ الکترونی عبوری مشاهده شد (شکل ۷-ب) ولی به دلیل مقدار کم آن با پراش پرتو ایکس قابل شناسائی نسیت. این نوع پالیگورسکایت همراه با سیلت در زمان تشکیل لسی، با باد وارد منطقه شده است. شکل ۷-ج نیز بیناب نگاشت الیاف پالیگورسکایت را نشان می‌دهد. پالیگورسکایت ممکن است از تغییر شکل اسمکتایت نیز حاصل شود [۱۸]. ولی بر پایه نتایج پراش نگاشت پرتو اشعه ایکس و میکروسکوپ الکترونی رویشی، هیچ شاهدی برای این تغییریافت نشد.

کانی‌شناسی بخش رس خاک‌های تشکیل شده در دامنه میکروکنگلومراهای ژوراسیک در مقایسه با مارن‌ها، شرایط متفاوتی را نشان می‌دهد. چنانکه گفته شد مارن‌های مربوط به دریاچه‌های کم عمق داخلی و شور است که شرایط تشکیل پالیگورسکایت در آنها فراهم بوده است [۶]، به دلیل وجود تنهشتهای در صورتی که رسوبات ژوراسیک مربوط به دریای نسبتاً عمیق است که شرایط تشکیل پالیگورسکایت فراهم نبود، و حتی اسمکتایت در آنها نیز بسیار اندک بوده و میکا کانی غالباً در بخش رس است. پدیده کانی‌شناسی مهم دیگر در این منطقه تبدیل میکا به اسمکتایت و تشکیل کانی حد واسط میکا-اسمکتایت در سه نوع گرانیت موجود در منطقه است.

در مارن‌ها، حاکی از تشکیل درجای این رس الیافی است. در این لایه‌ها اثری از افق کلسیک وجود ندارد ولی گچ به مقدار کم به صورت بلورهای ثانویه دیده می‌شود. به نظر می‌رسد غلظت بالای الکترولیت و pH مناسب، شرایط را برای تشکیل پالیگورسکایت فراهم آورده است.

پالیگورسکایت در این منطقه همراه با افق‌های کلسیک و ژیپسیک مشاهده شد. رابطه نزدیکی بین تشکیل افق کلسیک و ژیپسیک و تشکیل پالیگورسکایت گزارش شده است [۱۳ و ۱۸، ۳۵ و ۳۷]. تشکیل آهک یا گچ در خاک، مشابه شرایط تشکیل مارن‌های این منطقه نیز، سبب افزایش نسبت Mg/Ca pH می‌شود. از طرف دیگر تشکیل آهک و گچ سبب افزایش نیز شده است. افزایش pH، فعالیت سیلیس و آلومینیم را افزایش داده و شرایط ژئوشیمیائی لازم برای تشکیل پالیگورسکایت فراهم می‌شود. خادمی و مرموط (۱۹۹۹) معتقدند که انتقال پالیگورسکایت به همراه آهک در زمان تشکیل افق کلسیک، سبب غنی شدن افق‌های کلسیک از پالیگورسکایت در ایران مرکزی است [۷]. با توجه به مقدار فراوان پالیگورسکایت در افق‌های کلسیک و ژیپسیک در این منطقه، و عدم مشاهده الیاف بلند پالیگورسکایت با میکروسکوپ الکترونی رویشی، می‌توان گفت که همانند ایران مرکزی، انتقال پالیگورسکایت به همراه آهک و گچ عامل اصلی انبوه شدن مقدار زیاد پالیگورسکایت در افق‌های کلسیک و ژیپسیک است. نکته قابل ذکر مقدار کم پالیگورسکایت در افق افق‌های رس و کربنات‌های سرخ رنگ خاک‌های لسی است که فقط با میکروسکوپ الکترونی رویشی قابل شناسائی است (۷-الف). رنگ سرخ در این افق‌ها به دلیل انبوه شدن اکسیدهای آهن آزاد در خاک است. در شرایط گرم و مرطوب، آهن در اثر هوادیدگی کانی‌های اولیه آزاد شده و به صورت اکسید در خاک جمع می‌شوند و باعث ایجاد رنگ سرخ خاک خواهند شد [۳۸]. بنابراین رنگ سرخ نشان دهنده شرایط گرمتر و مرطوب‌تر زمان تشکیل این افق نسبت به زمان حال و عدم وجود شرایط مناسب برای تشکیل و پایداری پالیگورسکایت بوده است. همچنین در شرایط بارندگی سالیانه بیش از ۳۰۰ میلی‌متر، پالیگورسکایت ناپایدار بوده و به کانی‌های دیگر مانند اسمکتایت تبدیل می‌شود [۱۳]. بنابراین با وجود بارندگی سالیانه ۲۵۶ میلی‌متری فعلی، می‌توان نتیجه‌گیری کرد که افق یادشده در اقلیم با بارندگی بیش از ۳۰۰ میلی‌متر در سال تشکیل شده

- [12] Abtahi A., "Effect of a saline and alkaline ground water on soil genesis in semi-arid southern Iran", *Soil Sci. Soc. Am. J.* 41 (1977) 583–588.
- [13] Bouza P., Simón M., Aguilar J., Rostagno M., del Valle, H., "Genesis of some selected soils in the Valdés Peninsula, NE Patagonia, Argentina" In: Faz Cano, A., Ortiz, R., Mermut, A. R. (Eds.), *Advances in Geo Ecology*, Catena Verlag GMBH, Reiskirchen (2005) 1–12.
- [14] Farpoor M.H., Khademi H., Eghbal M.K., "Genesis and distribution of palygorskite and associated clay minerals in Raffsanjan soils on different geomorphic surfaces", *Iran Agric. Res.* 21 (2002) 39–60.
- [۱۵] حق‌نیاغ، "بررسی کانیهای رسی برخی از خاکهای دشت مشهد با استفاده از اشعه ایکس"، مجله علوم کشاورزی ایران ۱، ۲ و ۳ (۱۳۶۱) ص ۴-۱۶.
- [16] Singer A., Norrish K., "Pedogenic palygorskite occurrences in Australia", *Am. Miner.* 59 (1974) 508–517.
- [17] Monger H.C., Daugherty L.A., "Neoformation of palygorskite in a southern New Mexico Aridisols", *Soil Sci. Soc. Am. J.* 55 (1991) 1646–1650.
- [18] Watts N.L., "Quaternary pedogenic calcretes from the Kalahari (southern Africa): mineralogy, genesis and diagenesis", *Sedimentology* 27 (1980) 661–686.
- [۱۹] درویش‌زاده ع، "زمین‌شناسی ایران"، چاپ دوم، انتشارات امیرکبیر (۱۳۸۰) صفحه ۹۰۱.
- [۲۰] صاحب جمع ع. ا، "گزارش نهائی مطالعات تفصیلی دقیق خاک‌شناسی و طبقه بنده اراضی ایستگاه تحقیقات کشاورزی طرق-استان خراسان"، نشریه فنی ۱۱۴۶، مؤسسه تحقیقات خاک و آب (۱۳۸۱) صفحه ۶۲.
- [۲۱] شهرابی م، "شرح نقشه زمین‌شناسی چهارگوش مشهد، مقیاس ۱:۲۵۰۰۰۰۰، سازمان زمین‌شناسی و اکتشافات معدنی کشور" (۱۳۸۳) صفحه ۱۰۶.
- [22] Jackson M.L., "Soil Chemical Analysis Advanced Course", 2<sup>nd</sup> ed., 11<sup>th</sup> Printing, Published by the Author, Madison, WI, U.S.A. (1979) 991 p.
- [23] Soil survey staff, USDA-NRCS., "Soil Survey Laboratory Methods Manual", Soil Survey Investigations Report, No. 42. Version 3.0 (1996) 693 p.

تشکیل اسمکتایت و کانی‌های حدوداً از میکائی موجود در سنگهای آذرین مانند میکا معمول است [۳۹].

#### مراجع

- [1] Henderson S.G., Robertson R.H.S., "Mineralogical reconnaissance in western Iran", Resource Use Ltd., Glasgow, UK. (1958).
- [2] Burnett A.D., Fookes P.G., Robertson R.H., "An engineering soil at Kermanshah, Zagros mountains, Iran", *Clay Miner.* 9 (1972) 329–343.
- [3] Mahjoory R.A., "The nature and genesis of some salt-affected soils in Iran", *Soil Sci. Soc. Am. J.* 43 (1979) 1019–1024.
- [4] Abtahi A., "Soil genesis as affected by topography and time in highly calcareous parent material under semiarid conditions of Iran", *Soil Sci. Soc. Am. J.* 44 (1980) 329–336.
- [5] Gharaee H.A., Mahjoory R.A., "Characteristics and geomorphic relationship of some representative Aridisols in southern Iran", *Soil Sci. Soc. Am. J.* 48 (1984) 1115–1119.
- [6] Khademi H., Mermut A.R., "Source of palygorskite in gypsiferous Aridisols and associated sediments from Iran", *Clay Miner.* 33 (1998) 561–578.
- [7] Khademi H., Mermut A.R., "Submicroscopy and stable isotope geochemistry of carbonate and associated palygorskite in Iranian Aridisols", *Eur. J. Soil Sci.* 50 (1999) 207–216.
- [8] Owliaie H.R., Abtahi A., Heck R.J., "Pedogenesis and clay mineralogical investigation of soils formed on gypsiferous and calcareous materials, on a transect, southwestern Iran", *Geoderma* 134 (2005) 62–81.
- [۹] کریم‌زاده ح، جلالیان ا، خادمی ح، "مطالعه کانیهای رسی خاکهای گچی زمین‌ریختهای مختلف در منطقه شرق اصفهان"، علوم و فنون کشاورزی و منابع طبیعی ۱ (۱۳۸۳) ص ۷۳–۹۳.
- [10] Coudé-Gaussen C., "Observation au MEB de fibres de palygorskite transportée en grains par le vent", In: Federoff, N., Bresson, L.M., Courty, M.A. (Eds.), *Micromorphologie des Sols. Association Française pour l'Étude du Sol*, Paris (1987) 199–205.
- [11] Pimentel N.L.V., "Pedogenic and early diagenetic processes in Palaeogene alluvial fan and lacustrine deposits from the Sado Basin (S Portugal)", *Sediment. Geol.* 148 (2002) 123–138.

- [33] Tateo F., Sabbadinvi R., Morandi N., "Palygorskite and sepiolite occurrence in Pliocene lake deposits along the River Nile: evidence of an arid climate", *J. Afric. Earth Sci.* 31 (2000) 633-645.
- [34] Singer, A., "Palygorskite and sepiolite group minerals", In: Dixon, J.B., Weed, S.B. (Eds.), *Minerals in Soil Environments*. Soil Sci. Soc. Am. Madison (1989) 829-872.
- [35] Badraoui M., Bloom P.R., Bouabid R., "Palygorskite-smectite in a Xerocrept of the high Chaouia region of Morocco", *Soil Sci. Soc. Am. J.* 56 (1992) 1640-1646.
- [36] Shadfan H., Mashhady A.S., Dixon J.B., Hussein A.A., "Palygorskite from Tertiary formations of eastern Saudi Arabia", *Clays Clay Miner.* 33 (1985) 451-457.
- [37] Sancho C., Mehlendes A., Signes M., Batisda J., "Chemical and mineralogical characteristics of Pleistocene caliche deposits from the central Ebro basin, NE spain", *Clay Miner.* 27 (1992) 293-308.
- [۳۸] ایوبی ش، "مطالعه شواهد پدوفزیکی تغییر اقلیم در خاکهای قدیمی دو منطقه اصفهان و امام قبیس چهار محال و بختیاری"، رساله دکتری خاکشناسی دانشگاه صنعتی اصفهان صفحه ۲۷۱ (۱۳۸۱)
- [39] Tonui E., Eggleton T., Taylor G., "Micromorphology and chemical weathering of a K-rich trachyandesite and an associated sedimentary cover (Parkes, SE Australia)", *Catena* 53 (2003) 181-207.
- [24] Moore D.M., Reynolds R.C., "X-ray diffraction and the identification and analysis of clay minerals", 2nd ed., Oxford Univ. Press, New York, NY. (1997) 378p.
- [25] Bouza P.J., Simon M., Aguilar J., Valle H., Rostagno M., "Fibrous-clay mineral formation and soil evolution in Aridisols of northeastern Patagonia, Argentina", *Geoderma* 139 (2007) 38-50.
- [26] Assallay A. M., Rogers C. D. F., Smalley I. J., Jefferson I. F., "Silt: 2-62 mm, 9-4 Φ", *Earth-Sci. Rev.* 45 (1998) 61-88.
- [27] Wright J.S., "Desert versus glacial loess: quartz silt formation, source area and sediment pathways in the formation of loess deposits", *Geomorph.* 36 (2001) 231-256.
- [28] Okhravi R., Amini A., "Characteristics and provenance of the loess deposits of the Gharatikan watershed in northeast Iran", *Global and Planetary Change* 28 (2001) 11-22.
- [29] Krinsley D.B., "A geomorphological and paleoclimatological study of the playas of Iran", Geological Survey, US Department of Interior, Washington DC. (1970).
- [30] Zahedi M., "Explanatory text of the Isfahan quadrangle map 1:250000", Geological Survey of Iran (1976).
- [31] Khademi H., Mermut A.R., Krouse R.H., "Sulfur isotope geochemistry of gypsiferous soils from central Iran", *Geoderma* 80 (1997) 195-209.
- [32] Daoudi L., "Palygorskite in the uppermost Cretaceous-Eocene rocks from Marrakech High Atlas, Morocco", *J. Afric. Earth Sci.* (2004) 353-358